

流路の生成過程

九州大学 正員 稲 東一郎

〃 学生 吉岡邦明

〃 学生 の池田正雄

1 緒言 河川には浸食と堆積の作用があり、永年にわたつてみると大きな変化をして、ついには平衡状態に達する歴史があると言われている。これまで蛇行研究のための室内実験として行なわれてきた自由蛇曲水路の流れの発達過程は、この河川の歴史に似た現象を示しているように思え興味深いものがある。この実験に於て見られる拡幅現象は、側岸浸食の機構の解明や横方向からの流入砂を考慮した場合の河床変動の解明のための良い素材となり、更にそれが砂礫堆の発生と流路の蛇行とのような関連性をもちらながら進行していけるかという問題を提起していきたいと思う。

最近、山岡¹⁾氏や足立²⁾氏によつて、水路の拡幅を含めた流路の生成過程についての実験的研究が行なわれてゐるけれども、現象が複雑のために未だ疑問点が多い。本文では、山岡氏の実験に比べ流量と初期水路幅を増した同手法の実験を行つて、その流況と砂礫堆が発生するまでの比較的一様な側岸浸食についての若干の考察を行つたものである。

2. 実験装置と概要 有効長15m、水路幅120cmの実験水路に平均粒径0.83mmの均一砂をしきつめ、1/50から1/600まで五種類の河床勾配をつくろことのできる台車で水路中央に小さな通水路をもうけて流水する。上下端流の影響が入らないようにするために、測定地點を上流端より8mにうけ、一定時間毎に物差しを用いて川幅、水深、流路横断面形を測定した。又流れ方向への川幅の変化を測定するとともに、水面形は河床中に埋めた静圧管で、流速は紙を流して表面流速を測定した。実験の概要は表-1に示してある。

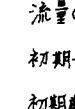
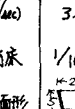
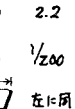
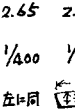
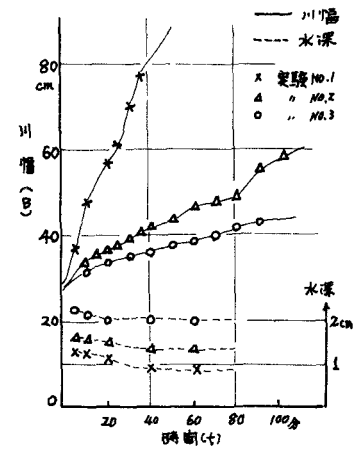
実験 No.	1	2	3	4
流量(m^3/sec)	3.0	2.2	2.65	2.74
初期河床	1/100	1/200	1/400	1/200
初期断面形 (cm)				
通水時間(分)	60	90	90	90

表-1

図-1. 川幅と水深の時間的変化
(50cm地盤)

3. 実験結果の考察 砂礫堆を伴つた流況については、木下氏³⁾によって詳しく観察されているが、本実験でもほぼ同様の現象が見られた。通水当初、不自然な断面におし込められた流れは流路全体から多量の砂を掃流し、側岸の崩壊は急である。河床はほぼ平滑で、流線は直線であり、側岸の浸食はミクロにみれば不規則であるが、流れ方向には一様であり、川幅は直線形を保つたまま拡幅され、それに伴つて水深は減少し、15~30%の割合まで行なわれている。

川幅が増大し水深が減少したある時刻から、水路床に三次元的な砂礫堆が形成され、発達してゆく。流れはかなり規則正しく蛇行していき、砂礫堆が発達するにつれて変化し複雑な流線を描くようになつてゆく。

なる。これ以後、川幅の拡大は右図のスケッチの如く、蛇行する流水が側岸に衝突してなされ、時間的にも場所的にも一様でなくなり、進行する砂礫堆に關係していく。本文次節でとりあつかう初期の拡幅とは機械を異にしているように思われる。以上の事は図-1からも見ることができる。実験NO.3は砂礫堆が形成されたけれども高さが小さく、流水をゆずかに蛇行させただけであって川幅は一様に拡幅してい。NO.2は通水後40分までは一様な拡幅、それ以後砂礫堆が形成され充分に発達したものの影響を受けた80分ころから流水の衝突に会って大きく拡幅されてい。NO.1は10分で砂礫堆が形成され、これ以後は時間的に一様でなくなつてい。

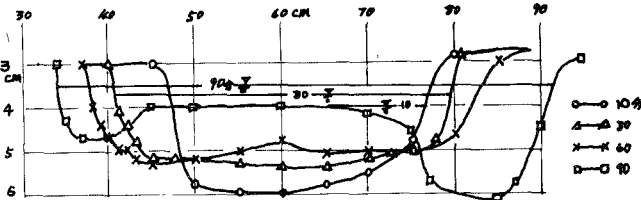


図-2 横断面形の時間的変化
初期河床勾配 1/200, 流量 2.2 l/s 8m 地震にて

図-2に示されている断面形の時間的変化は、丁字形から次第に偏平な台形となつておる、河川の中流から下流への断面形の変化を窺わせるものがあつ。河床は上昇しており、側岸浸食された量とほぼ等しく、側岸で浸食された砂が河床に堆積していると考えられる。90分の断面形には深掘れと堆積の部分が明瞭にみられ、砂礫堆が存在していることを示している。水面高さは上昇するが、水面勾配は時間的に一定と考えてよいようである。流速は蛇行流発生まではほとんど変動しないが、顯著に蛇行はじめると時間とともに減少している。

木下氏は砂礫堆の形成される条件をいくつか示しているが、その1つに「水路幅に対する水深がある深さを越えると蛇行しない」として川幅Bと平均水深の比 B/h の値を実験的に求めてい。本実験では通水後すぐにこの条件内にあり、蛇行が発生してもよいように考えられたが實際には少し遅れて発生している。従って砂礫堆の形成条件に、掃流される砂量や、側岸から崩壊する砂の影響があるのではないかと考えられ、今後実験をつめ重ねて調べてみたいと思う。

4 拡幅の解析について

砂礫堆が形成される以前の流れ方向にもととみなされる拡幅について解析してみたいと思うが、この側岸浸食も、流れ方向と砂の水中重量の斜面方向成分が作用するだけではなくて、側

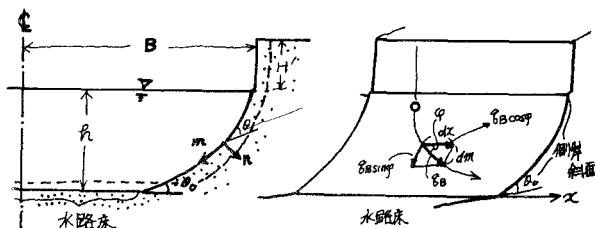


図-3 側岸浸食のモデル

岸付近の二次流や、水面上にある砂の崩壊などの不連続的要素を含め、かつ断面形は力学的に求めることが出来ず、河床と側岸の区別など明確でない等々で解析は困難な点が多い。

しかし、いざ川にして側岸の砂を流体力を受けて、図-3のモデルに示したような経路をたどりながらでは水路床に運び込まれるであろう。その間隙を埋めるようにして上方から砂がすり落ちて来て、全体として側岸が後退してゆくと考える。側岸の砂は、水面上ではほぼ鉛直をなし、水面以下で

は曲線状の側岸斜面をつくり、その先端での角度をもって水路床につなげていいと考える。

流砂量の連続の条件より側岸斜面の河床変動の式を求める。斜面にそって m 、それの鉛直方向に n をとり、斜面上を運ばれる流砂量を g_B 、 x 軸とのなす角を θ とすると、 $dx dm$ なる微小面積における流砂量の連続条件は

$$\frac{1}{1-\alpha} \left\{ \frac{\partial}{\partial t} (g_B \sin \theta) + \frac{\partial}{\partial x} (g_B \cos \theta) \right\} = \frac{\partial n}{\partial t}$$

川幅 B の時間的変化の式は

$$\frac{\partial}{\partial t} (BH') + \int_0^B \frac{\partial n}{\partial t} dm = \frac{1}{1-\alpha} [g_{B0} \sin \theta_0 + \int_0^B \frac{\partial}{\partial x} (g_B \cos \theta) dm]$$

となるが、斜面形状を決めなくてはならないために解析はきわめて困難であり、又斜面形状の時間的な変化が比較的小さいので、ここでは最も簡単に 斜面は相似の形を保ちながら一様に後退し、水路床は一様に上昇するものと仮定する。更に流砂量 g_B が x 方向に変化しないと仮定する。このとき近似的に

$$\frac{d}{dt} [B(xh + H')] = \frac{1}{1-\alpha} \cdot g_{B0} \sin \theta_0 \quad \dots \quad (1)$$

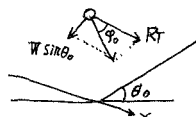
が成立するものとする。ここに、 h は水深、 H' は水面上の砂の高さ、 g_{B0} は側岸斜面先端での流砂量、 θ_0 はそこでの x 軸とのなす角、 α は補正係数である。

(1) 式で問題となるのは g_{B0} と $\sin \theta_0$ であろう。斜面先端(角度 θ_0)上の砂粒は、流体力 $R_f = u_*^2 \cdot \frac{d^2}{\eta}$ と砂の水中重力の斜面方向成分 $W \sin \theta_0$ の方向に働くことすると

$$\tan \theta_0 = \frac{\frac{\pi}{6} S g d^3 \sin \theta_0}{u_*^2 \cdot \frac{d^2}{\eta}} = \frac{S g d^3}{u_*^2} \cdot \frac{\pi}{6} \cdot \eta \sin \theta_0 \quad \dots \quad (2)$$

$S = (\sigma - P)/\rho$ 、 $u_*^2 = \sqrt{gh}$ 、 d ：砂の粒径、

η ：単位面積当たりの突起砂粒数と d^2 の積、



実験結果を見ると、最初 45° の側岸斜面は急激に崩壊して、その後は $\theta_0 = 7^\circ \sim 3^\circ$ に保たれており、 $S g d / u_*^2$ はほぼ 10 程度である。

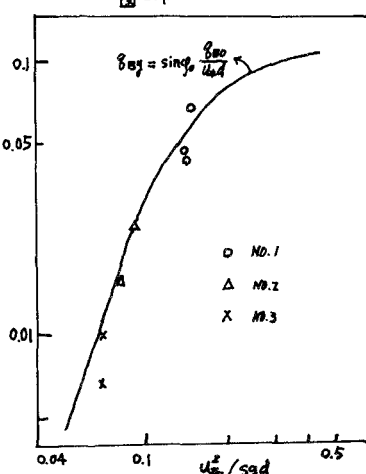
従って $\theta_0 = 5^\circ$ と仮定する

$$\tan \theta_0 = 0.4557$$

となる。係数 η については White は 0.4 を与えたが、最近岸は $\eta = 0.25$ が最も適当であるとしている。従ってこの値を用いると $\tan \theta_0 = 0.114$ ($\sin \theta_0 = 0.113$) となる。

g_{B0} については、合力 $(R_f^2 + W^2 \sin^2 \theta_0)^{1/2} \equiv R_f$ に規定されるところから、普通の流砂量公式を用いることができる。 g_{B0} として Einstein の式を用い、 $\sin \theta_0 \approx \tan \theta_0 = \frac{S g d}{u_*^2} \cdot \frac{\pi}{6} \cdot \eta \sin \theta_0$ として算出された $g_{B0} \sin \theta_0 = g_{B0}$ (角度 θ_0 なる側岸斜面先端部より水路床に運ばれる流砂量) を $u_*^2 / S g d$ に対して描いたのが図-4 の曲線として記入してある。図中の実は、図-2 の断面図で浸食されたと思われる側岸の面積を流砂量に換算して、そのと

図-4



式の U_F^2 / Sgd に対して plot したものである。かなり適合しているので、斜面先端から水路床に入る流砂量 Q_{BD} を $g_{BD} \sin \varphi_0$ で表現しても無理がないようと思える。

g_{BD} は $U_F^2 = ghi$ の関数であるから、結局

$$\left\{ \begin{array}{l} \frac{d}{dt} [B(\alpha h + H')] = \frac{1}{1-\lambda} \cdot g_{BD} \sin \varphi_0 \\ Q = B \alpha i \sqrt{ghi} \quad (\varphi = u/U_F, i, \text{勾配}, Q; \text{流量}) \end{array} \right. \quad \begin{array}{l} ① \\ ② \end{array}$$

流砂量 公式

これを連立して解けば、川幅 B と時間 t との関数形が原理的には求められる。

一例として、 H' , φ , i を時間的に一定とみ、流砂量公式の一般形

$$\frac{g_{BD}}{Sgd} = K \left(\frac{U_F^2}{Sgd} \right)^m \left(1 - \frac{U_F^2}{U_F^{*2}} \right) \quad m=1 \text{ と } 3$$

を用いて得られる B と t との関数形は次の様になる。($t = 0$ で $B = B_0$ として)

$$t = \frac{3(1-\lambda)}{4K_2^2 \sin \varphi_0} \left[-2K_1(K_3 K_2 - H' K_1) \ln \left(\frac{K_1 - K_2 B_0^{3/2}}{K_1 - K_2 B^{3/2}} \right) + 2K_1(K_3 K_2^2 + H')(B_0^{3/2} - B^{3/2}) - K_2 H'(B_0^{4/3} - B^{4/3}) \right]$$

$$K_1 = \frac{K d g^{1/2} i^{3/2}}{S d} \times \left(\frac{Q}{g g_F} \right)$$

$$K_2 = \frac{K d g^{1/2} U_F^2 i^{1/2}}{S d} \left(\frac{Q}{g g_F} \right)^{1/3}$$

$$K_3 = \frac{1}{3} \left(\frac{Q}{g g_F} \right)^{2/3}$$

参考文献

- 1) 水路蛇曲に関する一実験(北大・長谷川・山岡) [土木学会第23回講演会概要]
- 2) 冲積水路の拡幅に関する実験的研究(名大・中藤・足立) [土木学会第24回講演会概要]
- 3) 石狩川河道変遷調査 [科学技術省資源局資料第36号、昭和36年]